

# ПРИКЛАДНА МЕХАНІКА

УДК 621.65

Аврамов К.В., Филипковский С.В., Федоров В.М., Пирог В.А., Филипковская Л.А.

## СРАВНИТЕЛЬНАЯ ОЦЕНКА МЕТОДОВ АНАЛИЗА КОЛЕБАНИЙ ЖИДКОСТИ В РАЗВЕТВЛЕННЫХ ТРУБОПРОВОДАХ

### 1. Введение

Одной из проблем при проектировании ракет с ЖРД является продольная устойчивость [1,2]. В большинстве ракет наблюдаются продольные автоколебания. Они происходят, когда основная частота продольных колебаний корпуса ракеты близка к частоте колебаний топлива в трубопроводе окислителя. Если возникает необходимость отстройки собственной частоты колебаний от резонансной частоты, то изменяют собственные частоты колебаний жидкости в топливных трубопроводах путем введения в систему специальных устройств [2, 3]. Теоретические основы статики и динамики трубопроводов летательных аппаратов рассмотрены в книге [4]. В монографии [5] рассмотрены общие теоретические аспекты математического моделирования динамического состояния трубопроводных систем.

Для определения собственных частот колебаний питающих магистралей, жидкость рассматривается как система с распределенными параметрами. Динамика жидкости описывается уравнениями [1]:

$$-\frac{\partial p}{\partial x} = \frac{\rho}{F} \frac{\partial Q}{\partial t}; \quad -\frac{\partial p}{\partial t} = c^2 \rho \frac{\partial}{\partial x} \left( \frac{Q}{F} \right), \quad (1)$$

где  $p$ ,  $Q$  – давление и расход жидкости;  $x$  – осевая координата трубопровода;  $F$  – площадь поперечного сечения трубопровода;  $\rho$  – плотность жидкости в трубопроводе;  $c$  – скорость звука в круглой деформируемой трубе.

### 2. Метод четырехполюсника

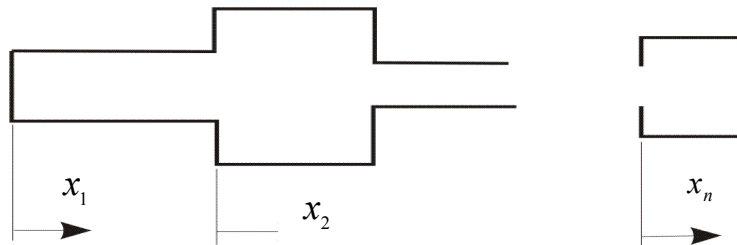


Рисунок 1 - Эскиз трубопровода с переменным поперечным сечением

Рассмотрим трубопровод со скачкообразно меняющимся поперечным сечением. Исследуем  $i$  – й участок трубы с постоянным поперечным сечением. Трубопровод состоит из  $n$  участков. Предположим, что на  $i$  – м участке в системе наблюдаются гармонические колебания с частотой  $\omega_k$ . Такие движения можно описать так:

$$p_i = p_i(x) \sin(\omega_k t); Q_i = Q_i(x) \cos(\omega_k t). \quad (2)$$

Введем (2) в (1) и придем к следующим обыкновенным дифференциальным уравнениям:

$$\frac{\partial p_i}{\partial x_i} = \frac{\rho}{F_i} \omega_k Q_i(x_i); \quad \frac{\partial Q_i}{\partial x_i} = -\frac{\omega_k F_i}{c_i^2 \rho} p_i(x_i). \quad (3)$$

Решение системы (3) представим так:

$$\begin{bmatrix} Q_i(x_i) \\ p_i(x_i) \end{bmatrix} = \begin{bmatrix} \cos\left(\frac{\omega_k}{c_i} x_i\right) & -\frac{F_i}{c_i \rho} \sin\left(\frac{\omega_k}{c_i} x_i\right) \\ \frac{c_i \rho}{F_i} \sin\left(\frac{\omega_k}{c_i} x_i\right) & \cos\left(\frac{\omega_k}{c_i} x_i\right) \end{bmatrix} \begin{bmatrix} Q_i(0) \\ p_i(0) \end{bmatrix}. \quad (4)$$

С помощью формулы (4) установим связь между давлением и расходом на входе в  $i$ -й участок  $Q_i(0)$ ,  $p_i(0)$  и этими же параметрами на выходе из него  $Q_i(l)$ ,  $p_i(l)$ . Эта связь примет следующий вид:

$$\begin{bmatrix} Q_i(l_i) \\ p_i(l_i) \end{bmatrix} = [A_i^{(k)}] \begin{bmatrix} Q_i(0) \\ p_i(0) \end{bmatrix} = \begin{bmatrix} \cos\left(\frac{\omega_k}{c_i} l_i\right) & -\frac{F_i}{c_i \rho} \sin\left(\frac{\omega_k}{c_i} l_i\right) \\ \frac{c_i \rho}{F_i} \sin\left(\frac{\omega_k}{c_i} l_i\right) & \cos\left(\frac{\omega_k}{c_i} l_i\right) \end{bmatrix} \begin{bmatrix} Q_i(0) \\ p_i(0) \end{bmatrix}. \quad (5)$$

В точках скачкообразного изменения поперечного сечения давление и расход должны оставаться постоянными:  $p_{i-1}(l_{i-1}) = p_i(0)$ ;  $Q_{i-1}(l_{i-1}) = Q_i(0)$ . Итак, значения давления и расхода в конце  $n$ -го участка описывается следующим соотношением:

$$\begin{bmatrix} Q_n(l_n) \\ p_n(l_n) \end{bmatrix} = \prod_{j=1}^n [A_j^{(k)}] \begin{bmatrix} Q_1(0) \\ p_1(0) \end{bmatrix}. \quad (6)$$

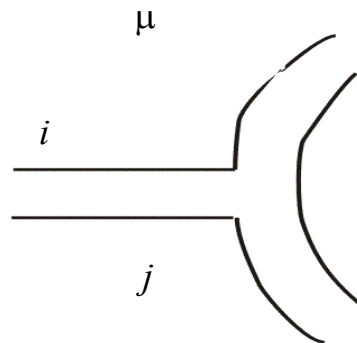


Рисунок 2 - Схема коллектора

Если трубопровод содержит коллектор (рис.2), то выполняются такие уравнения:

$$Q_i(l) = Q_j(0) + Q_{\mu}(0); p_i(l) = p_j(0) = p_{\mu}(0). \quad (7)$$

Задавая граничные условия на левом конце трубопровода и используя (5)  $n$  раз получим соотношение для правого конца с номером  $n$  (рис.1). Удовлетворяя граничным условиям на правом конце трубопровода, получим одно нелинейное алгебраическое уравнение относительно частоты колебаний  $\omega$ . Решая это уравнение, найдем частоту колебаний. Далее соотношения (5) и результаты расчета частот колебаний используются для определения форм свободных колебаний.

### 3. Импедансный метод

В дальнейшем для исследования динамики трубопровода (рис.1), воспользуемся импедансным методом [6]. Тогда к системе (1) применим преобразования Лапласа по переменной  $t$ :

$$p(x, s) = \int_0^{\infty} p(x, t) \exp(-st) dt; \quad Q(x, s) = \int_0^{\infty} Q(x, t) \exp(-st) dt. \quad (8)$$

Система (1) относительно функций  $p(x, s); Q(x, s)$  примет следующий вид:

$$\frac{d^2 p}{dx^2} = \gamma^2(s) p; \quad \frac{d^2 Q}{dx^2} = \gamma^2(s) Q, \quad (9)$$

где  $\gamma = \sqrt{Z_1(s)Y_1(s)}$ . Решения уравнений (9) представим так:

$$p(x, s) = C_1(s) \operatorname{ch} \gamma(s)x + C_2(s) \operatorname{sh} \gamma(s)x;$$

$$Q(x, s) = \frac{1}{Z_B(s)} [C_1(s) \operatorname{sh} \gamma(s)x + C_2(s) \operatorname{ch} \gamma(s)x], \quad (10)$$

где  $Z_B(s) = \sqrt{Z_1(s)/Y_1(s)}$  – характеристический импеданс, или волновое сопротивление трубопровода. Для определения констант интегрирования введем входной импеданс трубопровода:

$$Z(0, s) = \frac{p(0, s)}{Q(0, s)}. \quad (11)$$

Тогда константы интегрирования определяются так:  
 $C_1(s) = p(0, s); C_2(s) = -\frac{p(0, s)Z_B(s)}{Z(0, s)}$ . Введем комплексный гиперболический угол

нагрузки:  $a_l = \operatorname{arth} \frac{Z(l, s)}{Z_B(s)}$ . Тогда параметр  $Z(0, s)$  представим так:

$$\frac{Z(0, s)}{Z_B(s)} = \operatorname{th}(\gamma l + a_l(s)). \quad (12)$$

Теперь рассмотрим метод расчета собственных частот колебаний окислителя в упругой ступенчатой трубе (рис.1). Для этого произведем сшивание расхода и давления при ступенчатом изменении поперечного сечения при переходе от участка с номером  $(i-1)$  к участку с номером  $(i)$ . Это можно записать через входной и выходной импеданс трубопровода так:

$$Z_{i-1}(l_{i-1}; s) = Z_i(0; s). \quad (13)$$

Это уравнение может быть переписано в следующем виде:

$$Z_{B,i-1}(s) \operatorname{th} a_{i-1} = Z_{B,i}(s) \operatorname{th}(a_i + \gamma_i l_i).$$

Последнее соотношение можно представить так:

$$a_{i-1} = \operatorname{arth} \frac{Z_{B,i}}{Z_{B,i-1}} \operatorname{th}(a_i + \gamma_i l_i); i = \overline{1, n-1}. \quad (14)$$

Собственные частоты трубы (рис.1) описываются системой алгебраических уравнений (14) и дополнительным уравнением:

$$Z_1(0, s) = Z_{B,1}(s) \operatorname{th}(\gamma_1 l_1 + a_1). \quad (15)$$

Теперь воспользуемся следующими соотношениями:  $\gamma_j(\mathbf{i}\omega) = \mathbf{i}\omega c_j^{-1}$ ;  $Z_{B,j} = \rho c_j F_j^{-1}$ ;  $j = \overline{1, n}$ . В результате уравнения (14, 15) примут следующий вид:

$$a_j = \operatorname{arth} \frac{c_{j+1} F_j}{c_j F_{j+1}} \operatorname{th} \left( a_{j+1} + \mathbf{i} \frac{\omega l_{j+1}}{c_{j+1}} \right); Z_1(0, \mathbf{i}\omega) = \frac{\rho c_1}{F_1} \operatorname{th} \left( \mathbf{i} \frac{\omega l_1}{c_1} + a_1 \right). \quad (16)$$

Расчет собственных частот ведется от участка  $n$  к участку  $1$ , то есть от правого конца трубопровода к левому. Что бы осуществить этот анализ, преобразуем уравнения (16) к более простому виду. При этом воспользуемся следующей заменой:  $a_j \rightarrow \mathbf{i} a_j$ ;  $j = \overline{1, n}$ . Отметим, что для закрытого участка трубопровода выполняется следующее граничное условие:  $a_l = 0.5\pi$ , а для открытого участка граничное условие принимает вид:  $a_l = 0$ .

Итак, получена система алгебраических уравнений (16), описывающая частоты

колебаний ступенчатой трубы. Эту систему можно представить в виде одного нелинейного алгебраического уравнения относительно  $f$ , которое решается численно.

#### 4. Примеры расчета

Для анализа колебаний окислителя в разветвленном трубопроводе рассмотрим расчетную схему, представленную на рис.3. Этот трубопровод состоит из двух участков переменного поперечного сечения 1 и 2, за которым устанавливается коллектор и участки 3; 4; 5; 6. Длины участков обозначим  $l_i; i = \overline{1,6}$ , диаметры труб-  $D_i$ ; их толщины  $\delta_i$ . Параметры этого трубопровода представлены в таблице 1.

Таблица 1

$i$	1	2	3	4	5	6
$l_i, \text{см}$	2,302	5,67	1,512	4,818	1,512	4,818
$D_i, \text{см}$	0,2905	0,2	0,125	0,14	0,125	0,14
$\delta_i, \text{см}$	0,0035	0,0035 <sup>3</sup>	0,0025	0,002	0,0025	0,002
$E_i, \text{кг/см}^2$	0,69·10 <sup>11</sup>	0,69·10 <sup>11</sup>	2,1·10 <sup>11</sup>	2,1·10 <sup>11</sup>	2,1·10 <sup>11</sup>	2,1·10 <sup>11</sup>

Результаты расчета первых трех частот колебаний жидкости в разветвленной магистрали окислителя, полученные рассмотренными выше методами, представлены в таблице 4. Численные значения, полученные импедансным методом и на основании четырехполюсника, совпадают. Первая частота, полученная методом конечных элементов несколько ниже соответствующей частоты, полученной импедансным методом, а вторые и третьи собственные частоты, полученные импедансным методом и методом конечных элементов, близки.

Таблица 2

Частоты	Импедансный метод	Метод четырехполюсника	Метод конечных элементов
$\omega_1$	13.057	13.057	11.894
$\omega_2$	33.59	33.59	33.626
$\omega_3$	54.071	54.071	55.405

#### Заключение

Методы импедансный и четырехполюсника являются аналитическими и обеспечивают достаточно высокую точность расчета, но требуют вывода новых формул для каждой новой конфигурации трубопровода. Метод четырехполюсника значительно проще в теоретическом плане в сравнении с импедансным методом и является более эффективным. Во-первых, он наиболее прост с точки зрения математической реализации. Во-вторых, он чрезвычайно эффективно позволяет определить собственные частоты колебаний сложных разветвленных трубопроводов. В-третьих, этот метод позволяет легко посчитать собственные формы колебаний и учесть в модели демпферы и различные граничные условия системы.

